

меньше единицы, то справедлива простая асимптотическая формула

$$A(y) = (2\sqrt{3}\omega_0^2|x_0|)^{-1} \frac{\xi^2}{\xi^4 + \xi^2 + 1} \int_{-c}^c a(\sigma) d\sigma + \dots, \quad \xi = \left[ y \sqrt{i - \omega_0^2/\omega_0} |x_0| \right]^{1/3}.$$

Отсюда следует, что  $A(y) = O(|x_0|^{-1})$  при  $|x_0| \rightarrow \infty$ . Решение краевой задачи (5.6), (5.7) можно записать в квадратурах с помощью метода интегральных преобразований. Способ однозначного выделения решения этой задачи указан в [3].

#### ЛИТЕРАТУРА

- Габов С. А., Крутицкий П. А. О нестационарной задаче Ларсена // ЖВММФ.—1987.—Т. 2, № 8.
- Крутицкий П. А. Малые нестационарные колебания вертикальных пластин в канале со стратифицированной жидкостью //ЖВММФ.—1988.—Т. 28, № 12.
- Габов С. А., Свешников А. Г. Задачи динамики стратифицированных жидкостей.—М.: Наука, 1986.
- Лаврентьев М. А., Шабат Б. В. Методы теории функций комплексного переменного.—М.: ГИФМЛ, 1958.
- Свешников А. Г., Тихонов А. Н. Теория функций комплексной переменной.—М.: Наука, 1970.

г. Новосибирск

Поступила 20/II 1991 г.

УДК 536.25

*A. E. Индейкина, Ю. С. Рязанцев, В. М. Шевцова*

### ВЛИЯНИЕ НЕЛИНЕЙНОЙ ЗАВИСИМОСТИ ПОВЕРХНОСТНОГО НАТЯЖЕНИЯ ОТ ТЕМПЕРАТУРЫ НА ФОРМУ СВОБОДНОЙ ПОВЕРХНОСТИ ПРИ КОНВЕКТИВНОМ ДВИЖЕНИИ В ЖИДКОСТИ

Влиянию капиллярных сил на равновесие и движение жидкости в условиях, близких к невесомости, посвящено большое число работ. Следует отметить, что и при нормальной гравитации, когда удельная поверхность жидкости велика, капиллярные силы могут стать определяющими. Многообразие капиллярных явлений в значительной степени обусловлено зависимостью поверхностного натяжения от температуры и концентрации поверхностно-активных веществ.

В последние годы появилось значительное количество работ [1—3], в которых рассматривается аномальная зависимость коэффициента поверхностного натяжения от температуры:

$$(1) \quad \sigma_1 = \sigma_{01} + \alpha_1(T' - T^*)^2, \quad \sigma_{01} = \text{const}, \quad \alpha_1 = \text{const}.$$

Этому предшествовала серия экспериментов [4, 5], выявивших наличие данной зависимости  $\sigma = \sigma_1(T')$  для широкого класса веществ, например: для водных растворов высокомолекулярных спиртов, некоторых бинарных металлических сплавов, нематических жидких кристаллов.

В данной работе теоретически рассматривается нестационарная термокапиллярная (ТК) и термогравитационная (ТГ) конвекция в тонком слое вязкой несжимаемой жидкости для нелинейной зависимости коэффициента поверхностного натяжения от температуры по закону (1). Проводится сравнение возникающего течения с характеристиками движения, когда коэффициент поверхностного натяжения зависит от температуры по линейному закону

$$(2) \quad \sigma_2 = \sigma_{20} - \alpha_2 T', \quad \sigma_{20} = \text{const}, \quad \alpha_2 = \text{const}, \quad \alpha_2 > 0.$$

**Постановка задачи.** В начальный момент времени через поверхность внутрь жидкости толщиной  $H$ , занимающей круглую цилиндрическую

кувету радиуса  $R$  ( $R \gg H$ ), проходит импульс излучения (например, лазерный пучок). Из-за поглощения излучения в объеме жидкости в следе возникает область повышенной температуры с максимумом, расположенным на поверхности жидкости, нагрев достаточно быстро убывает от центра. Распределение энергии в пучке излучения считаем гауссовым. В последующие моменты времени источник тепла не действует. Дно, боковые стенки кюветы и свободная поверхность жидкости теплоизолированы. Предполагается, что длительность лазерного импульса мала по сравнению с характерным временем конвективного тепломассопереноса. Например, в эксперименте [6] длительность импульса  $10^{-7}$  с. Следовательно, в начальный момент времени в сосуде имеется неравномерное распределение температуры

$$(3) \quad T' = T_0 + (T_1 - T_0) \exp(-(r'/a')^2 + \alpha(z' - H)).$$

Здесь  $T_0$  — температура всей жидкости до начала облучения;  $T_1$  — максимальное значение температуры в нагретой области;  $a'$  — радиус пучка излучения;  $\alpha$  — коэффициент поглощения излучения жидкостью. Образовавшаяся тепловая неоднородность вызывает ТК- и ТГ-конвекцию в слое. Предполагается, что изменения физических параметров жидкости в результате изменения температуры пренебрежимо малы, за исключением изменения плотности и коэффициента поверхностного натяжения.

С учетом сделанных предположений математическая формулировка задачи включает уравнения: Навье — Стокса, теплопроводности и неразрывности, записанные в приближении Буссинеска.

В силу того что в данной работе учитывается изменение толщины слоя жидкости  $h' = h'(r', t')$ , будем считать

$$p' = p_0 + \rho g(h'(r', t') - z') + p''$$

( $p'' = p''(r', z', t')$  — отклонение давления от гидростатического,  $p_0$  — внешнее давление,  $\rho$  — исходная плотность).

В цилиндрической системе координат уравнения имеют вид

$$\begin{aligned} \frac{\partial u'}{\partial t'} + u' \frac{\partial u'}{\partial r'} + v' \frac{\partial u'}{\partial z'} &= -g \frac{\partial z'}{\partial r'} - \frac{1}{\rho} \frac{\partial p''}{\partial r'} + \nu \nabla^2 u', \\ \frac{\partial v'}{\partial t'} + u' \frac{\partial v'}{\partial r'} + v' \frac{\partial v'}{\partial z'} &= -\frac{1}{\rho} \frac{\partial p''}{\partial z'} + g\beta(T' - T_0) + \nu \nabla^2 v', \\ \frac{\partial T'}{\partial t'} + u' \frac{\partial T'}{\partial r'} + v' \frac{\partial T'}{\partial z'} &= \kappa \nabla^2 T', \\ \frac{1}{r'} \frac{\partial}{\partial r'}(r' u') + \frac{\partial v'}{\partial z'} &= 0. \end{aligned}$$

Границные условия на боковых стенках и дне — условия прилипания жидкости:

$$u' = v' = 0, z' = 0, r' = R.$$

Условия симметрии на оси кюветы:

$$u' = \partial v' / \partial r' = 0, r' = 0.$$

На свободной поверхности [7] при  $z' = h'(r', t')$

$$(4) \quad (p' - p_0) n_i = \sigma_{ik} n_k + \sigma n_i \left( \frac{1}{R_1} + \frac{1}{R_2} \right) + \tau_k \frac{\partial \sigma}{\partial x_k} \tau_i, \quad i = 1, 3, k = 1, 3,$$

где  $\sigma_{ik}$  — тензор вязких напряжений;  $\tau$  — касательная к поверхности жидкости;  $n$  — нормаль, направленная внутрь жидкости;  $1/R_1 + 1/R_2$  — кривизна поверхности жидкости.

Используя известные математические выражения для кривизны поверхности и нормали к ней, получим из уравнения (4) в проекциях па-

оси  $r'$  и  $z'$  следующие выражения:

$$(5) \quad p''h' = 2\rho v h' \frac{\partial u'}{\partial r'} - \rho v \left( \frac{\partial v'}{\partial r'} + \frac{\partial u'}{\partial z'} \right) - \frac{\sigma \dot{h}'}{\sqrt{1 + (\dot{h}')^2}} \left( \frac{\ddot{h}'}{1 + (\dot{h}')^2} + \frac{\dot{h}'}{r'} \right) + \\ + \left( \frac{\partial \sigma}{\partial r'} + \dot{h}' \frac{\partial \sigma}{\partial z'} \right) \frac{1}{\sqrt{1 + (\dot{h}')^2}},$$

$$p'' = 2\rho v \frac{\partial v'}{\partial z'} - \rho v h' \left( \frac{\partial v'}{\partial r'} + \frac{\partial u'}{\partial z'} \right) - \frac{\sigma}{\sqrt{1 + (\dot{h}')^2}} \left( \frac{\ddot{h}'}{1 + (\dot{h}')^2} + \frac{\dot{h}'}{r'} \right) - \\ - \left( \frac{\partial \sigma}{\partial r'} + h' \frac{\partial \sigma}{\partial z'} \right) \frac{\dot{h}'}{\sqrt{1 + (\dot{h}')^2}}.$$

Здесь  $\dot{h}' = \partial h'/\partial r'$ ,  $\ddot{h}' = \partial^2 h'/\partial r'^2$ . На поверхности вертикальная компонента скорости жидкости равна скорости изменения  $h'(r', t')$ :  $\partial h'/\partial t' + u' \partial h'/\partial r' = v'$ . На форму поверхности накладываем также условие симметрии  $\partial h'/\partial r' = 0$ ,  $r' = 0$ . На боковой поверхности кюветы задается условие затухания движения  $h' = H$ ,  $\partial h'/\partial r' = 0$ ,  $r' = R$ .

Начальными условиями служат условие неподвижности жидкости  $u' = v' = 0$ , плоская поверхность  $h' = H$  и заданное распределение температуры (3). В формулах использованы размерные величины:  $u'$ ,  $v'$  — радиальная и вертикальная составляющие скорости,  $v$ ,  $\alpha$  — коэффициенты вязкости и температуропроводности.

Пусть  $L$  — характерный размер области, в которой локализовано движение жидкости в радиальном направлении. То, что оно будет локализовано, известно из численных расчетов [8] и эксперимента [6]. Размер  $L$  определяется радиусом круга, вне которого поверхностное напряжение практически не меняется и жидкость не движется. Радиус светового пятна, нагревающего жидкость при  $t = 0$ , меньше или порядка  $L$ ,  $a' \leq L$ . Ввиду отсутствия движения жидкости при  $r' > L$  перенос тепла в этой области может происходить только за счет теплопроводности.

Далее будем рассматривать тонкий слой жидкости:  $\epsilon = H/L \ll 1$ . В приближении тонкого слоя радиальный перенос тепла за счет теплопроводности незначителен. Тогда граничные условия при  $r' \rightarrow L$  примут вид

$$\partial T'/\partial r' = 0, u' = v' = 0, h' = H, \partial h'/\partial r' = 0.$$

На дне и свободной поверхности граничные условия для температуры записутся как

$$\partial T'/\partial z' = 0, z' = 0,$$

$$\partial T'/\partial z' + \dot{h}' \partial T'/\partial r' = 0, z' = h'(r', t').$$

Из уравнения неразрывности следует соотношение между скоростями  $v' \sim \epsilon u'$ .

Оценим радиальную скорость из уравнения (5), предполагая, что поверхность не искривлена. Тогда

$$\rho v \left( \frac{\partial u'}{\partial z'} + \frac{\partial v'}{\partial r'} \right) \approx \frac{\partial \sigma}{\partial r'} = \frac{d\sigma}{dT'} \frac{\partial T'}{\partial r'},$$

отсюда для линейной зависимости (2) характерная скорость  $u_{02} = \alpha_2 \Delta T H / \rho v L$ . В случае нелинейной зависимости (1)  $d\sigma/dT' = 2\alpha_1(T' - T^*)$ , температура  $T^*$ , соответствующая минимуму поверхностного напряжения, изменяется в пределах  $T_0 \leq T^* \leq T_1$ . В оценках будем предполагать  $d\sigma/dT' \sim -2\alpha_1 \Delta T/2 = -\alpha_1 \Delta T$ . Знак выбран так, чтобы при  $T' < T^*$  направление движения жидкости на поверхности соответствовало случаю линейной зависимости  $\sigma = \sigma_2(T')$ . Тогда  $u_{01} = \alpha_1(\Delta T)^2 H / \rho v L$ .

Отношение гравитационных и термокапиллярных сил характеризуется числом Бонда Bd. Для нелинейной зависимости  $\sigma_1(T')$

$$Bd = \frac{\rho g \beta H^2}{\alpha_1 \Delta T} = \frac{\rho g \beta \Delta T H}{\alpha_1 (\Delta T)^2 / H} = \frac{p_g''}{p_{th}''}.$$

В данной работе рассматривается случай  $Bd \sim 1$ , следовательно,  $p_g'' \sim p_{th}''$ , и в качестве масштаба для давления можно взять любую из этих величин. Пусть  $p_{ch} = p_{th}'' = \alpha_1 (\Delta T)^2 / H$ .

С учетом сделанных оценок запишем безразмерные переменные:

$$r = r'/L, a = a'/L, z = z'/H, h = h'/H,$$

$$u = u'/u_0, v = v'/(eu_0), p = p''/p_{ch},$$

$$\theta = (T' - T_0)/\Delta T, \theta^* = (T^* - T_0)/\Delta T, t = t'/\tau, \Delta T = T_1 - T_0.$$

Масштаб времени введем позднее.

В безразмерных переменных уравнения и граничные условия имеют вид

$$(6) \quad \begin{aligned} \frac{H^2}{\nu \tau} \frac{\partial u}{\partial t} + \varepsilon^2 \operatorname{Re} \left( u \frac{\partial u}{\partial r} + v \frac{\partial u}{\partial z} \right) &= - \frac{\partial p}{\partial r} - \frac{Bd}{\beta_T} \frac{\partial h}{\partial r} + \varepsilon^2 \left( \frac{1}{r} \frac{\partial}{\partial r} \left( r \frac{\partial u}{\partial r} \right) - \frac{u}{r^2} \right) + \frac{\partial^2 u}{\partial z^2}, \\ \frac{\varepsilon^2 H^2}{\nu \tau} \frac{\partial v}{\partial t} + \varepsilon^4 \operatorname{Re} \left( u \frac{\partial v}{\partial r} + v \frac{\partial v}{\partial z} \right) &= - \frac{\partial p}{\partial z} + Bd \theta + \varepsilon^4 \frac{1}{r} \frac{\partial}{\partial r} \left( r \frac{\partial v}{\partial r} \right) + \varepsilon^2 \frac{\partial^2 v}{\partial z^2}, \\ \frac{\operatorname{Pr} H^2}{\nu \tau} \frac{\partial \theta}{\partial t} + \left( u \frac{\partial \theta}{\partial r} + v \frac{\partial \theta}{\partial z} \right) \varepsilon^2 \operatorname{Pr} \operatorname{Re} &= \varepsilon^2 \frac{1}{r} \frac{\partial}{\partial r} \left( r \frac{\partial \theta}{\partial r} \right) + \\ &+ \frac{\partial^2 \theta}{\partial z^2}; \quad \frac{1}{r} \frac{\partial}{\partial r} (ru) + \frac{\partial v}{\partial z} = 0. \end{aligned}$$

Здесь  $\operatorname{Pr} = \nu/\kappa$ ;  $\operatorname{Re} = u_0 L / \nu$ ;  $\beta_T = \beta \Delta T$ . Начальные условия при  $t = 0$ :

$$(7) \quad u = v = 0, h = 1, \theta = \exp(-r^2/a^2 + \alpha H(z - 1)),$$

граничные:

$$(8) \quad \begin{aligned} u &= v = 0, \frac{\partial \theta}{\partial z} = 0, z = 0; \\ u &= v = 0, \frac{\partial \theta}{\partial r} = 0, r = 1; \\ u &= \partial v / \partial r = 0, r = 0. \end{aligned}$$

На свободной границе при  $z = h(r, t)$

$$(9) \quad \begin{aligned} p \dot{h} + \frac{\partial u}{\partial z} + \varepsilon^2 \left( \frac{\partial v}{\partial r} - 2 \dot{h} \frac{\partial u}{\partial r} \right) + \frac{\sigma_{10}}{\alpha_1 (\Delta T)^2} \frac{\varepsilon^2 \dot{h}}{\sqrt{1 + (\dot{h})^2}} \left( \frac{\ddot{h}}{1 + (\dot{h})^2 \varepsilon^2} + \frac{\dot{h}}{r} \right) + \\ + 2(\theta^* - \theta) \left( \frac{\partial \theta}{\partial r} + \dot{h} \frac{\partial \theta}{\partial z} \right) \frac{1}{\sqrt{1 + \varepsilon^2 (\dot{h})^2}} &= 0, \\ p &= \varepsilon^2 \left( 2 \frac{\partial v}{\partial z} - \dot{h} \left( \varepsilon^2 \frac{\partial v}{\partial r} + \frac{\partial u}{\partial z} \right) \right) - \\ - \frac{\varepsilon^2 \sigma_{10}}{\alpha_1 (\Delta T)^2} \frac{1}{\sqrt{1 + \varepsilon^2 (\dot{h})^2}} \left( \frac{\ddot{h}}{1 + \varepsilon^2 (\dot{h})^2} + \frac{\dot{h}}{r} \right) + \\ + 2(\theta^* - \theta) \left( \frac{\partial \theta}{\partial r} + \dot{h} \frac{\partial \theta}{\partial z} \right) \frac{\varepsilon^2 \dot{h}}{\sqrt{1 + \varepsilon^2 (\dot{h})^2}}, \frac{\partial \theta}{\partial z} + \varepsilon^2 \dot{h} \frac{\partial \theta}{\partial r} &= 0, \\ \frac{L}{u_0 \tau} \frac{\partial h}{\partial t} + u \frac{\partial h}{\partial r} &= v; \quad \frac{\partial h}{\partial r} = 0, r = 0; \quad h = 1, \frac{\partial h}{\partial r} = 0, r = 1. \end{aligned}$$

Из уравнений (6)–(9) видно, что в рассматриваемой нестационарной задаче имеется несколько масштабов времени, связанных с развитием скоростного и температурного полей и с изменением толщины слоя.

Введем масштабы времени:  $\tau_1 = H^2/v$  — время нестационарного процесса движения жидкости,  $\tau_2 = L/u_0$  — характерное время изменения формы поверхности,  $\tau_3 = \text{Pr} H^2/v$  — время развития температурного поля. Полагаем, что  $Bd \sim 1$ ,  $Re \sim 1$ ,  $\text{Pr} \sim 1$ ,  $\sigma_{01}/(\alpha_1(\Delta T)^2) \sim 1$ . Тогда,  $\tau_1 \sim \tau_3$ ,  $\tau_2/\tau_1 = 1/\epsilon^2 \text{Re}$ .

**Случай малых времен.** Положим  $\tau = \tau_1$ . Пренебрегая в уравнениях (6) членами порядка  $\epsilon^2$  и выше, получим

$$(10) \quad \frac{\partial u}{\partial t} - \frac{\partial^2 u}{\partial z^2} = - \frac{\partial p}{\partial r} - \frac{Bd}{\beta_T} \frac{\partial h}{\partial r},$$

$$\frac{\partial p}{\partial z} = Bd \theta, \quad \text{Pr} \frac{\partial \theta}{\partial t} = \frac{\partial^2 \theta}{\partial z^2}, \quad \frac{1}{r} \frac{\partial}{\partial r} (ru) + \frac{\partial v}{\partial z} = 0.$$

На свободной поверхности вместо (9) имеем

$$(11) \quad \frac{\partial h}{\partial t} = 0, \quad p = 0, \quad \frac{\partial \theta}{\partial z} = 0, \quad \frac{\partial u}{\partial z} = 2(\theta - \theta^*) \frac{\partial \theta}{\partial r}.$$

Начальные условия (7) и оставшиеся граничные (8) не изменяются.

Из первого уравнения в (11) находим, что  $h = 1$ , т. е. на данном этапе форма поверхности не изменяется. Тогда в первом уравнении (10) выпадает слагаемое  $-(Bd/\beta_T)\partial h/\partial r$ . Решая последовательно уравнения (10) методом Фурье, получим выражения в виде рядов для температуры, давления и скоростей. Выражение для температуры используется в дальнейшем при асимптотическом сращивании решений в случаях малых и больших времен

$$(12) \quad \theta = \exp\left(-\frac{r^2}{a^2}\right) \left\{ \frac{1 - \exp(-\alpha H)}{\alpha H} + \sum_{k=0}^{\infty} \frac{2((-1)^k - \exp(-\alpha H)) \exp(-(\pi k)^2 t/\text{Pr})}{\alpha H (1 + (\pi k / \alpha H)^2)} \cos \pi k z \right\}.$$

Зависимости для скоростей и давления здесь не приводятся ввиду их громоздкости. Следует отметить, что в данном приближении выражения для температуры и давления не зависят от вида  $\sigma = \sigma(T)$ .

Полученные ряды просуммированы на ЭВМ. Графики приведены для  $a = 0,2$ ,  $\alpha H = 2$ ,  $Bd = 1$ ,  $\text{Pr} = 1$ . На рис. 1 показано распределение температуры по радиусу на поверхности жидкости в различные моменты времени. Кривые 1—3 соответствуют времени 0,01; 0,1; 1,0. Как следует из (12), для времен  $t \geq 1$  распределение температуры не зависит от координаты  $z$ , следовательно, кривая 3 отвечает температуре не только на поверхности, но и любому  $z$  при  $t \geq 1$ .

Это предельное выражение будет использовано в качестве начального условия для температуры при больших временах.

На рис. 2 представлено распределение составляющих скоростей в момент времени  $t = 0,1$  для различных значений  $\theta^*$ :  $a$  — радиальная скорость на поверхности слоя жидкости,  $b$  — вертикальная скорость на глубине  $z = 0,95$ . При малых временах поверхность жидкости еще не деформирована и вертикальная составляющая скорости на поверхности равна нулю. Кривые 1—6 соответствуют  $\theta^* = 0; 0,2; 0,3; 0,4; 0,6; 0,8; 1$ , здесь и далее штриховая линия отвечает линейной зависимости  $\sigma = \sigma_2(T')$ .

Как и предполагалось, для всех значений  $\theta^*$  движение жидкости локализовано в небольшой области, прилегающей к горячему пятну. Направление движения жидкости

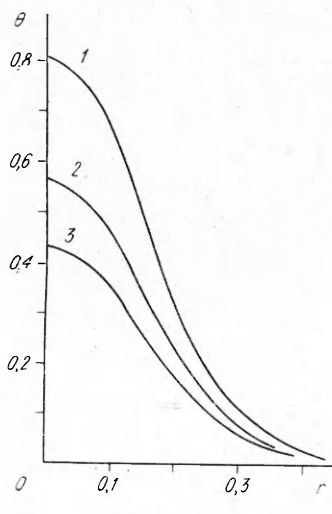
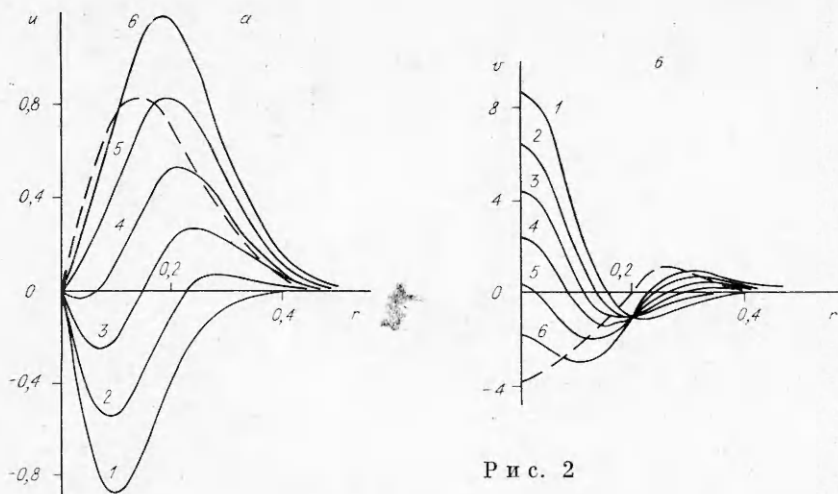


Рис. 1

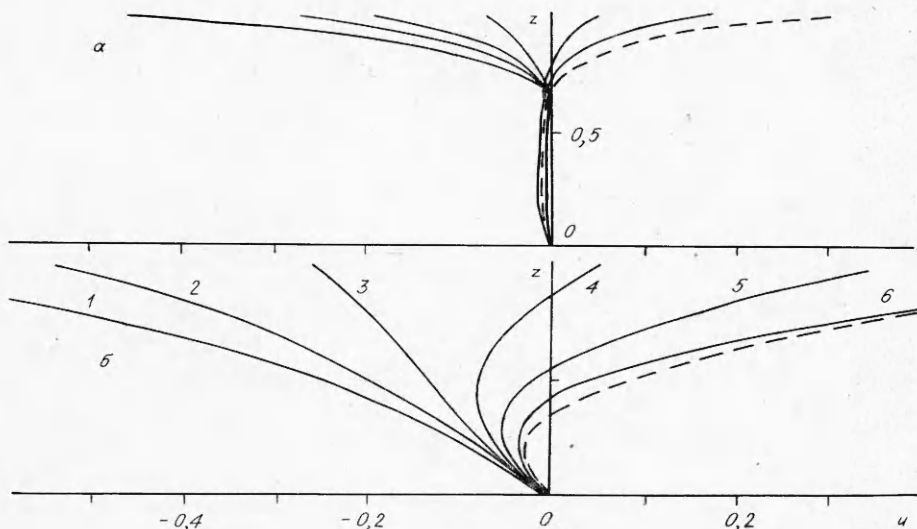


Р и с. 2

сти определяется направлением действия ТК-сил, т. е. знаком градиента  $d\sigma_1/dT' = 2\alpha_1(T' - T^*)$ . При  $\theta^* = 1$ ,  $d\sigma_1/dT' < 0$  качественная картина распределения скорости аналогична линейному случаю, но с более медленным нарастанием вблизи центра сосуда. При  $\theta^* = 0$  в объеме возникает вихревое движение, направленное против часовой стрелки. Для промежуточных значений  $\theta^*$  радиальная скорость принимает как положительные, так и отрицательные значения в зависимости от знака  $d\sigma_1/dT'$ .

Отметим, что при смене знака  $d\sigma_1/dT'$  имеется запаздывание в смене направления движения жидкости на поверхности слоя. Температура на поверхности ввиду конечного запаса тепла быстро падает со временем. К моменту времени  $t = 0,1$  на поверхности уже нет температуры  $\theta^* \geq 0,6$  (рис. 1, линия 2), но в жидкости сохраняется движение к центру сосуда (рис. 2, а, кривая 4) в малой области вблизи оси кюветы (рис. 2, б, кривые 4, 5 показывают движение вверх). Это связано с инерционностью объемного вихревого движения.

Рис. 3, где дано распределение радиальной скорости по высоте слоя вблизи оси ( $r = 0,08$ , на оси  $u \equiv 0$ ), позволяет проследить развитие движения внутри слоя (а — радиальная скорость для начального момента времени  $t = 0,01$ , б — для  $t = 0,1$ , кривые 1—6 отвечают  $\theta^* = 0; 0,2; 0,4; 0,6; 0,8; 1$ ).



Р и с. 3

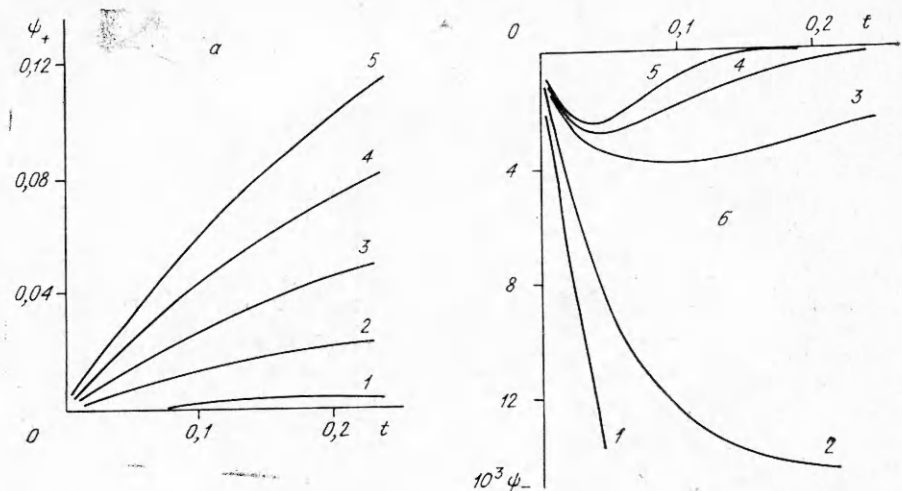


Рис. 4

Как следует из рис. 3, а, скорость вблизи поверхности намного больше, чем в объеме. Значит, в начальный момент времени влияние ТК-сил, определяющих приповерхностное движение, намного больше, чем влияние ТГ-сил, ответственных за поле скоростей внутри слоя. Со временем ТК-движение распространяется по всему слою, вклад ТГ-конвекции значительно не увеличивается.

Максимальное значение функции тока  $\psi_{\max}$  характеризует интенсивность движения. В случае нелинейной зависимости  $\sigma = \sigma_1(T')$  оно может принимать как положительные, так и отрицательные значения, что соответствует изменению направления действия ТК-сил. На рис. 4 показана зависимость  $\psi_{\max}$  от времени для  $\theta^* = 0,2; 0,4; 0,6; 0,8; 1$  (кривые 1—5). Для малых  $\theta^*$  (рис. 4, б) интенсивность «аномального» вихревого движения быстро растет, достигает максимума тем быстрее, чем больше  $\theta^*$ , затем по мере исчезновения из системы высоких температур ( $\theta > \theta^*$ ) с запаздыванием снижается до нуля. Во все более расширяющейся области, где всегда выполняется соотношение  $\theta < \theta^*$  (обычное направление действия ТК-сил,  $\psi_+$ ), при рассматриваемых малых временах интенсивность движения со временем нарастает и выходит на стационар (рис. 4, а).

**Случай больших времен.** При  $t = \tau_2$  нестационарные члены в уравнениях (6) имеют порядок  $\varepsilon^2$  и ими следует пренебречь. Но при этом сохраняется уравнение для формы поверхности и система уравнений (6)—(9) принимает вид

$$(13) \quad \frac{\partial^2 u}{\partial z^2} = \frac{\partial p}{\partial r} + \frac{Bd}{\beta_T} \frac{\partial h}{\partial r},$$

$$\frac{\partial p}{\partial z} = Bd \theta, \quad \frac{\partial^2 \theta}{\partial z^2} = 0, \quad \frac{1}{r} \frac{\partial}{\partial r} (ru) + \frac{\partial v}{\partial z} = 0.$$

На свободной поверхности имеем

$$(14) \quad p = 0, \quad \frac{\partial u}{\partial z} = 2(\theta - \theta^*) \frac{\partial \theta}{\partial r}, \quad \frac{\partial \theta}{\partial z} = 0, \quad \frac{\partial h}{\partial t} = v - u \frac{\partial h}{\partial r},$$

$$h = 1, \quad t = 0, \quad \frac{\partial h}{\partial r} = 0, \quad r = 0; \quad h = 1, \quad \frac{\partial h}{\partial r} = 0, \quad r = 1.$$

Границные условия на дне ( $z = 0$ ) и при  $r \rightarrow 1$  остаются те же, что и для малых времен.

Решая уравнение (8) для температуры, из (8) и (13) получим

$$(15) \quad \theta = \theta(r, t), \quad \frac{\partial \theta}{\partial r} = 0, \quad r \rightarrow 1.$$

Отсюда следует, что устанавливается равномерное распределение температуры по  $z$ , это согласуется с выводом, сделанным в случае малых

времен при  $t \rightarrow \infty$  (12). Предельное решение (12) для малых времен отвечает (15) при  $h(r, 0) = 1$ . Естественно для вида  $\theta(r, h(r, t))$  взять предельное выражение

$$\theta(r, t) = \exp\left(-\frac{r^2}{a^2}\right) \frac{1 - \exp(-\alpha H h(r, t))}{\alpha H h(r, t)}.$$

Далее, решая (13) с использованием условий (8) и (14), находим

$$\begin{aligned} p &= Bd \theta(z - h), \\ v &= -\frac{1}{r} \frac{\partial}{\partial r} \left( r \frac{\partial \theta}{\partial r} \right) \left\{ z^2 (\theta - \theta^*) + Bd \left( \frac{z^4}{24} - \frac{hz^3}{6} + \frac{h^2 z^2}{4} \right) \right\} + \\ &+ \frac{Bd}{\beta_T} (1 - \beta_T \theta) \frac{(\dot{h})^2 z^2}{2} + Bd \left( \frac{z^3}{6} - \frac{hz^2}{2} \right) \left\{ \dot{h} \frac{\partial \theta}{\partial r} - \frac{1}{r} \frac{\partial}{\partial r} \left[ \frac{r \dot{h}}{\beta_T} (1 - \beta_T \theta) \right] \right\} - z \dot{z} \left( \frac{\partial \theta}{\partial r} \right)^2, \\ u &= \frac{\partial \theta}{\partial r} \left( 2z (\theta - \theta^*) + Bd \left( \frac{z^3}{6} - \frac{hz^2}{2} + \frac{h^2 z}{4} \right) \right) + \\ &+ \frac{Bd}{\beta_T} (1 - \beta_T \theta) \dot{h} \left( \frac{z^2}{2} - hz \right). \end{aligned}$$

Для  $h(r, t)$  получается выражение

$$(16) \quad \frac{\partial h}{\partial t} = \frac{1}{r} \frac{\partial}{\partial r} \left\{ r \left[ \frac{\partial \theta}{\partial r} \left( h^2 (\theta^* - \theta) - Bd \frac{\dot{h}^4}{8} \right) + \frac{Bd}{\beta_T} (1 - \beta_T \theta) \frac{\dot{h} h^3}{3} \right] \right\}.$$

Решим его в предположении малых деформаций поверхности. Запишем  $h(r, t) = 1 + \beta_T f(r, t)$ , где  $f \sim 1$ ,  $\beta_T \sim 10^{-3}$ . При этом предположим, что  $\partial h / \partial t = \beta_T \partial f / \partial t \sim 1$ , т. е.  $\partial f / \partial t \sim 1 / \beta_T$ . Тогда

$$(17) \quad \theta \approx \exp\left(-\frac{r^2}{a^2}\right) \left\{ \frac{1 - \exp(-\alpha H)}{\alpha H} + \beta_T f(r, t) \left( \exp(-\alpha H) - \frac{1 - \exp(-\alpha H)}{\alpha H} \right) \right\} = \exp\left(-\frac{r^2}{a^2}\right) (A + \beta_T f(r, t) B).$$

Подставляя (17) в уравнение (16), используя разложение в ряд Тейлора по  $\beta_T$ , имеем

$$(18) \quad \begin{aligned} \beta_T \frac{\partial f}{\partial t} &= \frac{Bd}{3} \left( \ddot{f} + \frac{\dot{f}}{r} \right) + \frac{4A^2}{a^2} \left( 1 - \frac{2r^2}{a^2} \right) \exp\left(-\frac{2r^2}{a^2}\right) - \\ &- \frac{4A}{a^2} \left( 1 - \frac{r^2}{a^2} \right) \exp\left(-\frac{r^2}{a^2}\right) \left( \theta^* - \frac{Bd}{8} \right), \\ f(t=0) &= 0, \quad \frac{\partial f}{\partial r}(r=0) = 0, \\ f(r \rightarrow \infty) &= \frac{\partial f}{\partial r}(r \rightarrow \infty) = 0. \end{aligned}$$

Решив (18) с помощью преобразования Ганкеля нулевого порядка, находим

$$\begin{aligned} h &= 1 + \frac{3}{8} \frac{\beta_T}{Bd} \frac{1 - \exp(-\alpha H)}{\alpha H} \left\{ (Bd - 8\theta^*) \left[ \exp\left(-\frac{r^2}{a^2}\right) - \right. \right. \\ &- \exp\left(-\frac{r^2}{a^2} \left( 1 + \frac{4}{3} \frac{Bd}{\beta_T} \frac{t}{a^2} \right)^{-1} \right) \left( 1 + \frac{4}{3} \frac{Bd}{\beta_T a^2} t \right)^{-1} \left. \right] + \\ &\left. + 4 \frac{1 - \exp(-\alpha H)}{\alpha H} \left[ \exp\left(-\frac{2r^2}{a^2}\right) - \right. \right. \\ &- \exp\left(-\frac{2r^2}{a^2} \left( 1 + \frac{8}{3} \frac{Bd}{\beta_T a^2} t \right)^{-1} \right) \left( 1 + \frac{8}{3} \frac{Bd}{\beta_T a^2} t \right)^{-1} \left. \right] \right\}. \end{aligned}$$

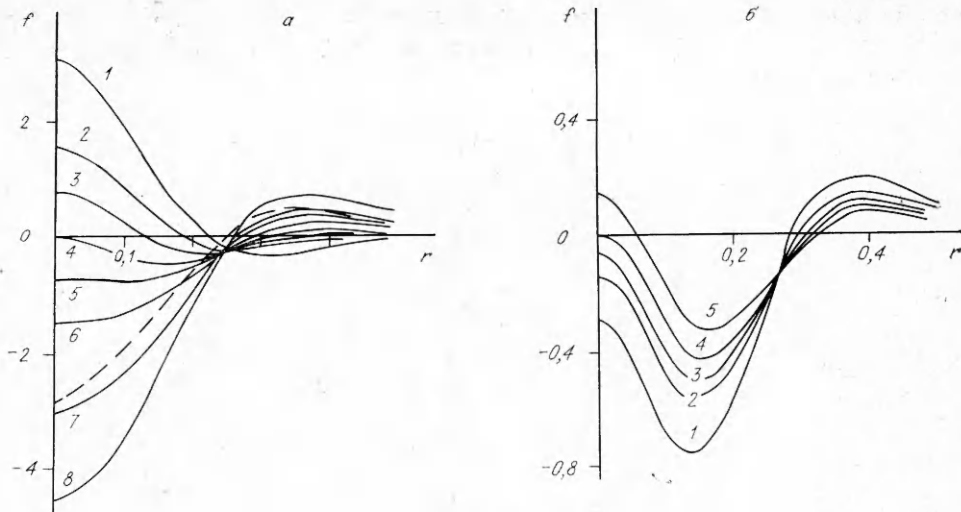


Рис. 5

На рис. 5, а показана форма поверхности в момент времени  $t = 5 \cdot 10^{-4}$  для различных  $\theta^*$ , штриховая линия соответствует линейному случаю, кривые 1—8 отвечают  $\theta^* = 0; 0,2; 0,3; 0,4; 0,5; 0,6; 0,8; 1$ . Графики построены для  $a = 0,2$ ,  $\alpha H = 2$ ,  $Bd = 1$ ,  $\beta_T = 10^{-3}$ . При небольших изменениях этих параметров суть картины не изменяется. Существуют такие  $\theta^*$  (в нашем случае  $\theta^* \leq 0,3$ ), когда вблизи оси поверхность выпучивается. Для  $\theta^* = 0,5$  (кривая 5) поверхность при  $r \rightarrow 0$  выпуклая, с увеличением расстояния от оси появляются прогиб и затем опять выпуклость. В линейном случае вблизи оси наблюдается только прогиб, что соответствует экспериментальным наблюдениям [9].

На рис. 5, б показано изменение формы поверхности в зависимости от числа Бонда ( $\theta^* = 0,4$ ,  $t = 5 \cdot 10^{-4}$ ). Поскольку при теоретическом рассмотрении полагалось, что  $Bd \sim 1$ , числа Бонда изменяются в небольших пределах ( $0,7 \leq Bd \leq 1,3$ ). Кривые 1—5 отвечают  $Bd = 0,7; 0,9; 1; 1,1; 1,3$ . Видно, что с уменьшением  $Bd$ , т. е. с увеличением роли ТК-конвекции, растет отклонение формы поверхности от плоской.

#### ЛИТЕРАТУРА

- Гупало Ю. П., Рязанцев Ю. С. О термокапиллярном движении жидкости со свободной поверхностью при нелинейной зависимости поверхностного натяжения от температуры // Изв. АН СССР. МЖГ.— 1988.— № 5.
- Пухначев В. В. Проявление аномального термокапиллярного эффекта в тонком слое жидкости // Гидродинамика и теплообмен течений жидкости со свободной поверхностью.— Новосибирск: ИТ СО АН СССР, 1985.
- Рязанцев Ю. С., Шевцова В. М., Вальциферов Ю. В. О влиянии вида температурной зависимости поверхностного натяжения на движение и теплообмен в слое жидкости при локальном нагреве // ИФЖ.— 1989.— Т. 57, № 1.
- Vochten R., Petre G. Study of the heat of reversible adsorption at the air-solution interface. II. Experimental determination of the heat of reversible adsorption of some alcohols // J. Colloid Interface Sci.— 1973.— V. 42, N 2.
- Legros J. C., Limbourg M. C., Petre G. Influence of a surface tension minimum as a function of temperature on the Marangoni convection // Acta Astronaut.— 1984.— V. 11, N 2.
- Альварес-Суарес В. А., Рязанцев Ю. С. О термокапиллярном движении, вызванном локальным нагревом жидкости импульсом ультрафиолетового излучения // Изв. АН СССР. МЖГ.— 1986.— № 6.
- Ландау Л. Д., Лифшиц Е. М. Гидродинамика.— М.: Наука, 1986.
- Вальциферов Ю. В., Рязанцев Ю. С., Шевцова В. М. Исследование термокапиллярной и термогравитационной конвекции в жидкости при локальном нагреве // Изв. АН СССР. МЖГ.— 1989.— № 6.

9. Растопов С. Ф., Суходольский А. Т. Применение лазерно-индукционного эффекта Марангони для записи дифракционных решеток // Квантовая электроника. — 1987. — Т. 14, № 8.

г. Москва

Поступила 15/V 1990 г.  
в окончательном варианте — 25/I 1991 г.

УДК 532.5

B. B. Никулин

**АНАЛОГ УРАВНЕНИЙ ВИХРЕВОЙ МЕЛКОЙ ВОДЫ  
ДЛЯ ПОЛЫХ И ТОРНАДОПОДОБНЫХ ВИХРЕЙ.  
ВЫСОТА СТАЦИОНАРНОГО ТОРНАДОПОДОБНОГО ВИХРЯ**

В длинноволновом приближении получен аналог уравнений вихревой мелкой воды для полых и торнадоподобных вихрей в невязкой несжимаемой неоднородной жидкости. Рассмотрен вертикальный стационарный торнадоподобный вихрь, жидкость в ядре которого более легкая, чем вне его. Получен строгий критерий, разделяющий случаи, когда течение ограничено или безгранично по высоте. Расчет высоты вихря по теоретическим формулам по порядку величины согласуется с результатами лабораторных измерений и наблюдений за пыльными вихрями в природе.

1. Рассматривается несжимаемая невязкая неоднородная жидкость в поле тяжести. Течение считается вращательно-симметричным. Вводится цилиндрическая система координат  $(r \varphi z)$ ,  $r$  — радиус,  $\varphi$  — азимутальный угол. Ось  $z$  направлена против силы тяжести. Область, занимаемая течением, разбивается на две: область I —  $r \leq r_0(z, t)$ , II —  $r_0(z, t) \leq r \leq r_*$ , где  $r_*$  — постоянная величина,  $r_0$  — в общем случае функция  $z$  и  $t$ ,  $t$  — время. На границе  $r_0$  может быть разрыв плотности и касательной к ней компоненты скорости. Через  $(u v w)$  обозначаются компоненты скорости, соответствующие  $(r \varphi z)$ ,  $p$ ,  $\rho$ ,  $g$  — давление, плотность и ускорение силы тяжести.

Чтобы в дальнейшем перейти к длинноволновому приближению, вводятся характерные масштабы длины, скорости и плотности. За единицу длины принимается характерный масштаб изменений по оси  $z$ , за единицу скорости — величина вращательной компоненты скорости при  $r = r_0$ ,  $z = 0$ ,  $t = 0$ , характерная плотность полагается равной 1. В этом случае характерное время, давление и ускорение будут равны 1. Характерный масштаб изменений по оси  $r$  обозначается через  $\delta$ , считается, что  $\delta \ll 1$ .

Переход к новым переменным и функциям совершается по соотношениям

$$\begin{aligned} r^2 &\rightarrow \delta^2 \eta, \quad z \rightarrow z, \quad t \rightarrow t, \quad 2ur \rightarrow \delta^2 q, \\ vr &\rightarrow \delta A, \quad w \rightarrow w, \quad \rho \rightarrow \rho, \quad p \rightarrow p, \quad g \rightarrow g. \end{aligned}$$

Значение  $r = r_0$  соответствует  $\eta = \eta_0(z, t)$ ,  $r = r_*$  —  $\eta = \eta_*$ . Уравнения движения и неразрывности примут вид

$$\begin{aligned} (1.1) \quad & \frac{\rho \delta^2}{2} \left( \frac{\partial q}{\partial t} + \dot{q} \frac{\partial q}{\partial \eta} - \frac{q^2}{2\eta} + w \frac{\partial q}{\partial z} \right) - \frac{\rho A^2}{\eta} = -2\eta \frac{\partial p}{\partial \eta}, \\ & \frac{\partial A}{\partial t} + \dot{q} \frac{\partial A}{\partial \eta} + w \frac{\partial A}{\partial z} = 0, \\ & \rho \left( \frac{\partial w}{\partial t} + \dot{q} \frac{\partial w}{\partial \eta} + w \frac{\partial w}{\partial z} \right) = -\frac{\partial p}{\partial z} - \rho g, \\ & \frac{\partial q}{\partial \eta} + \frac{\partial w}{\partial z} = 0, \quad \frac{\partial \rho}{\partial t} + \dot{q} \frac{\partial \rho}{\partial \eta} + w \frac{\partial \rho}{\partial z} = 0. \end{aligned}$$